

Modelización de serie de tiempo de precios mayoristas de manzana de Uruguay.

Emanuelle Marsella, Maximiliano Saldaña

Junio 2022

Introducción

- ▶ Se modeliza la serie de precios mensuales mayoristas del kilo de manzana en la Unidad Agroalimentaria Metropolitana (ex Mercado Modelo).
- ▶ Datos originales bisemanales, se opta por la frecuencia mensual debido a la dificultad de emplear las herramientas de modelado SARIMA para tales tipos de series.
- ▶ Se cuentan con los datos desde enero de 2013 a mayo de 2022 y se considerará el promedio mensual de los precios, por lo que se cuenta con 113 observaciones.
- ▶ Interés especial en la predicción.

Análisis descriptivo

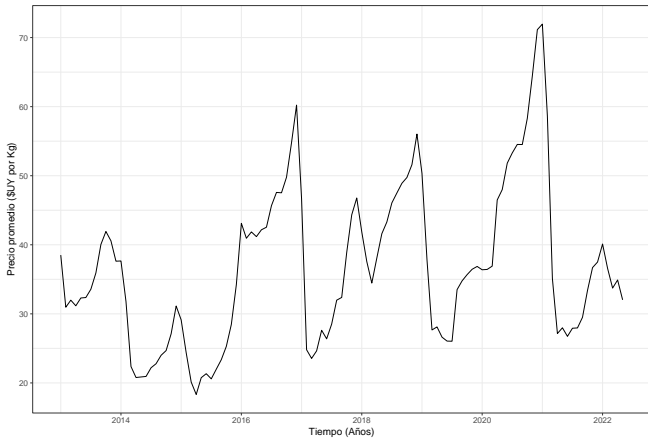


Figura 1: Serie de precios mensuales del Kg de manzana en pesos uruguayos.

Análisis descriptivo

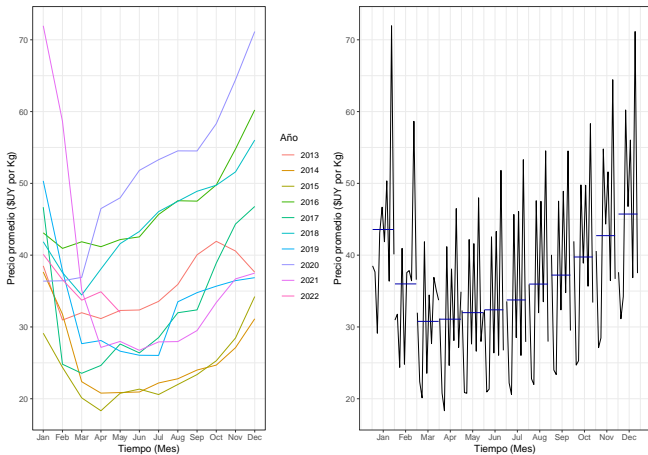


Figura 2: Gráfico estacionales y de series en el año de los precios mensuales del Kg de manzana en pesos Uruguayos.

Análisis descriptivo

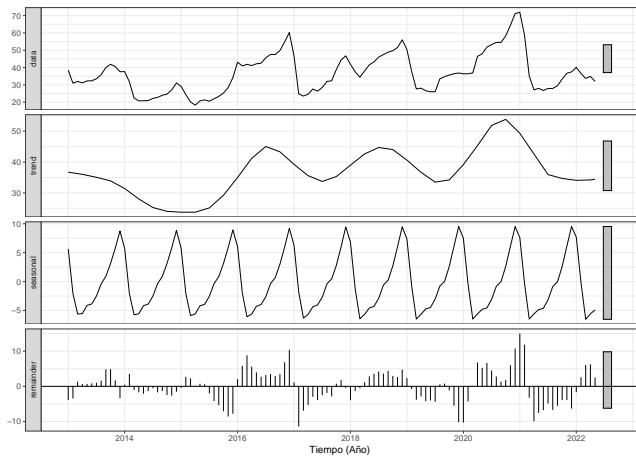


Figura 3: Descomposición STL del precio de manzana.

Análisis descriptivo

- ▶ Fuerza de la estacionalidad, definida en (Hyndman and Athanasopoulos 2018) como:

$$F_s = \max \left(0, 1 - \frac{\text{Var}(R_t)}{\text{Var}(R_t + S_t)} \right) = 0,51$$

Metodología

- ▶ Se divide la serie original en muestras de entrenamiento y test:
- ▶ Muestra de entrenamiento hasta mayo de 2021, 101 observaciones
- ▶ Muestra de prueba entre junio de 2021 y mayo de 2022, 12 observaciones.

Identificación manual de un modelo

- ▶ Estructura de autocorrelación
- ▶ Cantidad de parámetros con los que contará la especificación
- ▶ Posible diferenciación de la serie
- ▶ Posible transformación

Estructura de autocorrelaciones

Buscamos identificar la estructura de dependencia temporal de la serie mediante mediante las ACF y PACF muestrales.

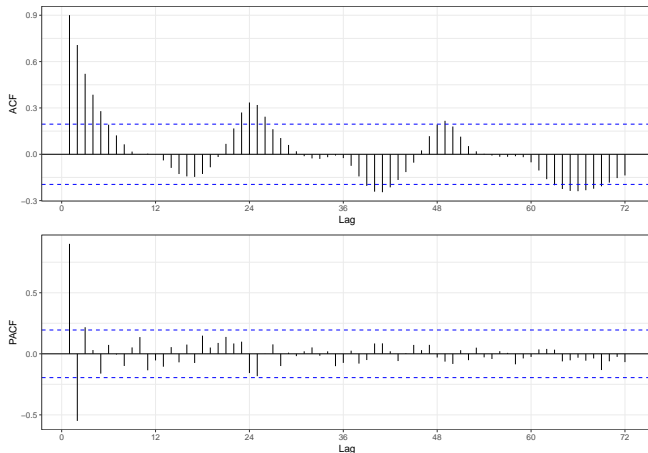


Figura 4: Funciones de autocorrelación y autocorrelación parcial muestrales de la serie de precios de manzana.

Transformación logarítmica

- ▶ Los gráficos de la serie no indican que sea de utilidad.
- ▶ La transformación de Box-Cox máximo-verosímil no es la logarítmica.

Tests de raíces unitarias

- ▶ Dado que las funciones de autocorrelación dieron indicios de que el proceso no es estacionario, resulta de interés poner a prueba si el proceso es $I(1)$, es decir, si cuenta con una raíz unitaria.
- ▶ En dicho caso el proceso sería no estacionario la cual implicaría que no puede ser modelado en el marco de los ARMA.
- ▶ Utilizamos el test de Dickey-Fuller y el de Phillips-Perron.
 - ▶ Hipótesis nula: la serie cuenta con una raíz unitaria
 - ▶ Ambos tests llevan a no rechazar la hipótesis a un nivel de significación de 95 %.

Serie de diferencias

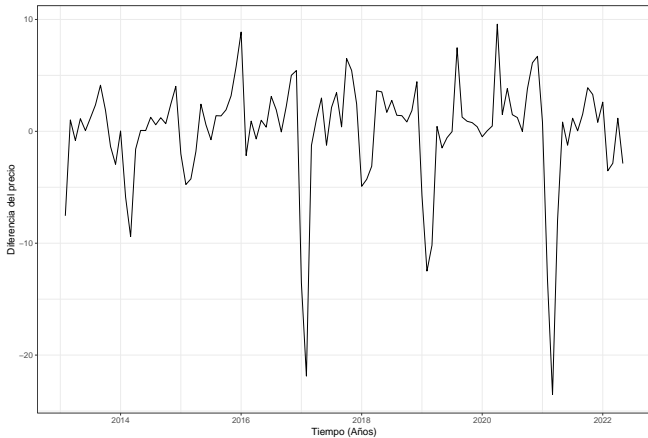


Figura 5: Serie de diferencias de precios mensuales del Kg de manzana.

ACF y PACF: diferencias

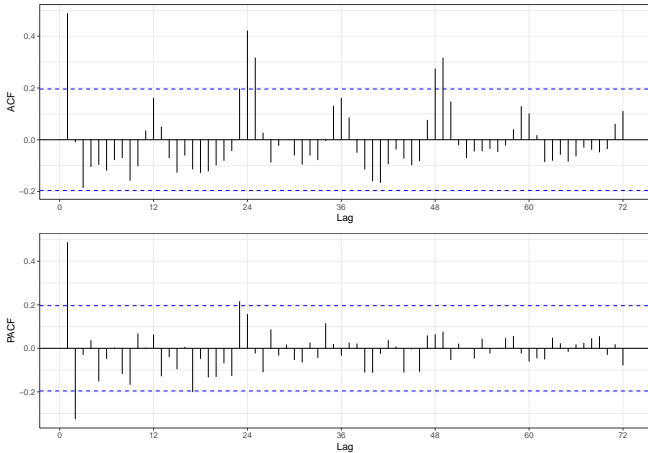


Figura 6: Autocorrelograma y autocorrelograma parcial de la serie de primeras diferencias de precios de manzana.

Especificación manual del modelo

- ▶ Solo los dos primeros valores de la autocorrelación parcial son significativos, indicio de una estructura AR de orden 2.
- ▶ La primera autocorrelación resulta significativamente distinta de 0, ¿indicio de un componente MA de primer orden?.
- ▶ Para los valores en torno a los lags 24 y 48 también lo son, indicio de dependencia estacional autorregresiva de orden 2.

Teniendo en cuenta este acercamiento metodológico, inicialmente se plantea un modelo $ARIMA(2, 1, 1)(2, 0, 0)$

Selección mediante criterios de información

- ▶ Alternativamente especificamos un modelo mediante el Criterio de Información de Akaike corregido (AICc), mediante la función *auto.arima()*.
- ▶ Se elegirá aquél modelo con el menor valor del AICc, lo cual a nivel algorítmico se hace empleando la selección *stepwise* a partir de un conjunto inicial de modelos (Hyndman and Athanasopoulos 2018).
- ▶ El modelo seleccionado mediante esta metodología resulta en un *ARIMA(0, 1, 2)(0, 0, 2)*.

Estimación

- ▶ Luego de haber identificado la especificación de los modelos, estimamos sus parámetros por máxima verosimilitud.
- ▶ Para esto es necesario asumir que los errores son gaussianos.
- ▶ El supuesto anterior es fuerte pero las estimaciones resultantes serán razonables aunque el supuesto no se cumpla (Hamilton 1994).
- ▶ En particular, el método empleado es la estimación máximo verosímil condicional.

Estimación de los parámetros para el modelo especificado manualmente

- ▶ Todos resultan significativos al 5 % de confianza con la excepción del parámetro de medias móviles (MA) y el primer parámetro autorregresivo estacional (sAR).
- ▶ Como consecuencia, optamos por eliminar el componente MA de la especificación y restringir el primer parámetro sAR a 0.

Especificación del *modelo manual* final es

$$\Phi_2(L^{12})\phi_2(L)\Delta^1 Y_t = \varepsilon_t$$

Donde:

- ▶ $\Phi_2(L^{12}) = 1 - 0,415L^{24}$
- ▶ $\phi_2(L) = 1 - 0,557L - (-0,277)L^2$
- ▶ $\Delta^1 = 1 - L$
- ▶ $\varepsilon_t \stackrel{\text{iid}}{\sim} N(0, \hat{\sigma}^2 = 15,82) \forall t$

Diagnóstico

Para evaluar si el modelo es adecuado se ponen a prueba los supuestos realizados sobre los residuos:

- ▶ Media 0 de los residuos: contraste no paramétrico de Wilcoxon, donde se testea $H_0) \mu_\varepsilon = 0$ contra $H_1) \mu_\varepsilon \neq 0$.
- ▶ Incorrelación de los errores: test de autocorrelación conjunta de Ljung-Box, donde la hipótesis nula es que los residuos son incorrelacionados contra la alternativa de que no lo son.
- ▶ Homoscedasticidad: test de Box-Ljung sobre los residuos al cuadrado del modelo McLeod and Li (1983). La hipótesis nula de esta prueba es la homoscedasticidad entre los k rezagos considerados.
- ▶ Normalidad: tests de Jarque-Bera y Shapiro-Wilk.
 $H_0) \varepsilon_t \sim N(0, \sigma^2)$ versus $H_0) \varepsilon_t \not\sim N(0, \sigma^2)$

Modelo manual: incorrelación de los errores

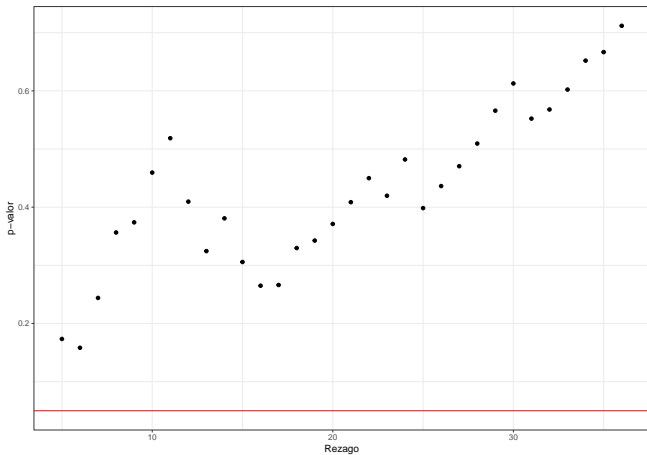


Figura 7: P-valores de pruebas conjuntas de autocorrelación nula de Ljung-Box

Modelo manual: homocedasticidad

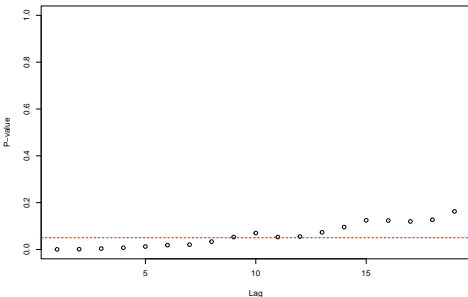


Figura 8: P-valores del test de McLeod-Li para los primeros 19 rezagos

- ▶ Indicación que los modelos del tipo SARIMA puede no ser los más adecuados y se tendría que recurrir a los del tipo ARCH/GARCH donde se busca modelizar la varianza de los errores.

Modelo manual: normalidad

- ▶ En ambos contrastes se rechaza la hipótesis nula de normalidad al 95 % de confianza, por lo que se recurrió a incorporar el efecto de los atípicos en el modelo manual.
- ▶ Consideramos como outliers a los residuos e_t que no se encuentran en el intervalo $(Q_1 - 3IQR, Q_3 + 3IQR)$ Hyndman (2021).
 - ▶ TC: enero de 2017
 - ▶ AO: febrero de 2017 y marzo de 2021
- ▶ Incluimos estas intervenciones como regresores del modelo, y sus parámetros son significativos al 5 %.
- ▶ Para el modelo intervenido, se cumple el supuesto de normalidad pero no el de autocorrelación de los residuos, que sí se cumplía para el anterior. Por lo tanto, deshechamos la intervención.

Modelos alternativos

Una vez se llegó al final de la etapa de diagnóstico del modelo planteado de forma manual, optamos por evaluar otros modelos alternativos seleccionados a partir de métodos automáticos, para tener varias opciones a la hora de evaluar el desempeño de las predicciones y compararlos con el modelo manual.

Modelo seleccionado por AICc

- ▶ Se seleccionó un modelo utilizando el Criterio de Información de Akaike corregido ($AICc$), que tiene la forma $ARIMA(0, 1, 2)(0, 0, 2)$.
- ▶ Los parámetros de medias móviles son significativos, así como el parámetro de medias móviles estacionales de segundo orden, pero no el de primer orden (no lo restringimos).
- ▶ No se rechaza la hipótesis de no autocorrelación ni tampoco la de media nula, pero la homocedasticidad no se cumple para todos los rezagos, y se rechaza la hipótesis de normalidad.
- ▶ Luego, se realizó una intervención sobre este modelo para corregir el efecto de algunos outliers que se detectaron, y se llegó a un modelo que cumple todos los supuestos sobre los residuos (excepto el de homocedasticidad para algunos rezagos).

Modelo seleccionado por *tso*

- ▶ Se seleccionó otro modelo a partir de las intervenciones aplicadas con el procedimiento automático de detección de outliers de la función *tso* presente en el paquete *tsoutliers* (*modelo tso*).
- ▶ El resultado del mismo es un $ARIMA(0, 1, 1)(2, 0, 0)$, que tiene 7 intervenciones (5 TC y 2 AO), pues se restringió el tipo de outliers posibles a estos dos.
- ▶ Todos los parámetros son significativos, excepto el correspondiente a la estacionalidad autorregresiva de orden 1.
- ▶ Se cumplen todos los supuestos que se suelen pedir sobre los residuos, incluyendo el de la homocedasticidad para todos los rezagos (que en modelos anteriores no se cumplía).

Modelo seleccionado por *tsoutliers*

- ▶ Otra opción considerada es la de un modelo intervenido con por métodos de la función *tsoutliers* del paquete *forecast*, que reemplaza los outliers a través de interpolación lineal (*modelo clean*).
- ▶ En este caso, se selecciona un modelo $ARIMA(1, 1, 0)(2, 0, 0)$, cuyo parámetros son significativos excepto el autorregresivo estacional de orden 1, pero que no cumple los supuestos de normalidad y no autocorrelación de los residuos, por lo cual optamos por no utilizarlo.

Modelo seleccionado por ets

- ▶ Modelo de la familia de los de suavizado exponencial (*modelo ets*).
- ▶ Hacen uso de promedios ponderados de las observaciones.
- ▶ Tienen como base modelos estructurales o espacio-estado. Este tipo de modelos permiten una estructura de varianzas que cambia en el tiempo, por lo cual no se requiere el supuesto de homocedasticidad de los residuos.
- ▶ Por su parte, el supuesto de no autocorrelación de los mismos sí se cumple.

Predicción

- ▶ Resulta de particular interés la predicción a futuro, dado que lo que ocurra con el precio incidirá tanto en la producción como en el consumo del bien y puede ser un insumo para la toma de decisiones a nivel de política económica.
- ▶ Predicciones puntuales: esperanza condicional.
- ▶ Incertidumbre sobre la predicción puntual: intervalos de predicción.
- ▶ En el caso que se cumpla el supuesto de normalidad, se puede emplear la expresión: $\hat{Y}_{t+h|t} \pm z_{\alpha/2} \hat{\sigma}_{t+h}$
- ▶ En caso contrario se pueden obtener mediante métodos de bootstrap.

Medidas de error de predicción

- ▶ Para cuantificar el error que se comete al comparar predicción contra valor verdadero, se recurre a cuatro medidas de error.
Sea $e_s = Y_{t+s} - Y_{t+s|t}^*$, $p_s = 100e_t/Y_s$ y
 $q_s = e_t / \left(\frac{1}{n-1} \sum_{j=1}^n |Y_j - Y_{j-1}| \right)$:
- ▶ Raíz del error cuadrático medio (RMSE) = $\sqrt{\sum_{i=1}^s e_i^2}$
- ▶ Error absoluto medio (MAE) = $\sum_{i=1}^s |e_i|$
- ▶ Media de los valores absolutos de los porcentajes de error (MAPE) = $\sum_{i=1}^s |p_i|$
- ▶ Error escalado absoluto medio (MASE) = $\sum_{i=1}^s |q_i|$

Predictión dentro de la muestra de entrenamiento

- ▶ Como una forma de medir el ajuste del modelo a la serie trabajada en general se calculan las predicciones a un paso del modelo dentro de la muestra de entrenamiento, comparándose con el valor verdadero de la serie.
- ▶ No resulta una buena referencia para evaluar el modelo en cuanto a sus predicciones fuera de la muestra.

Modelo	RMSE	MAE	MAPE	MASE
modelo_manual	3.9	2.7	8.0	0.20
modelo_aicc	4.0	2.8	8.2	0.20
modelo_aicc_int	3.1	2.4	7.0	0.17
modelo_tso	2.4	1.9	5.2	0.13
modelo_ets	4.1	2.6	7.5	0.19

Tabla 1: Errores de los distintos modelos en la muestra de entrenamiento.

Predictión dentro de la muestra

fecha	pred. man.	pred. AICc	Precios	e. man.	e. AICc
2020-01	34.90	34.94	36.38	1.48	1.44
2020-02	35.64	36.09	36.43	0.80	0.34
2020-03	35.73	34.16	36.91	1.18	2.75
2020-04	38.89	39.87	46.49	7.60	6.62
2020-05	51.96	52.24	47.99	-3.97	-4.25
2020-06	46.47	47.38	51.81	5.34	4.43
2020-07	54.69	54.02	53.30	-1.39	-0.72
2020-08	53.22	55.15	54.53	1.31	-0.63
2020-09	55.37	54.51	54.51	-0.85	0.00
2020-10	54.36	53.98	58.31	3.96	4.33
2020-11	61.17	61.20	64.44	3.27	3.24
2020-12	68.30	68.87	71.15	2.84	2.27

Tabla 2: Predicciones a 1 pasos y errores.

Predictión fuera de la muestra de entrenamiento

- ▶ Una forma de evaluar las predicciones que busca simular el proceso de predecir al futuro pero teniéndose la posibilidad de evaluar la calidad de las predicciones es mediante la predicción fuera de la muestra de entrenamiento.
- ▶ Se predice a 12 pasos (a un año dado que se trabaja con datos mensuales) y se compara con los 12 valores que se apartaron para conformar la muestra de prueba. Luego, se evalúan las medidas de error anteriormente discutidas.

Predictión fuera de la muestra de entrenamiento: medidas de error

Modelo	RMSE	MAE	MAPE	MASE
modelo_manual	4.5	3.9	12.4	0.28
modelo_aicc	3.2	2.6	8.6	0.19
modelo_aicc_int	13.1	12.7	39.4	0.92
modelo_tso	4.7	4.0	12.7	0.29
modelo_ets	4.5	3.6	10.9	0.26

Tabla 3: Errores de los distintos modelos en la muestra de testeо.

Predicción fuera de la muestra

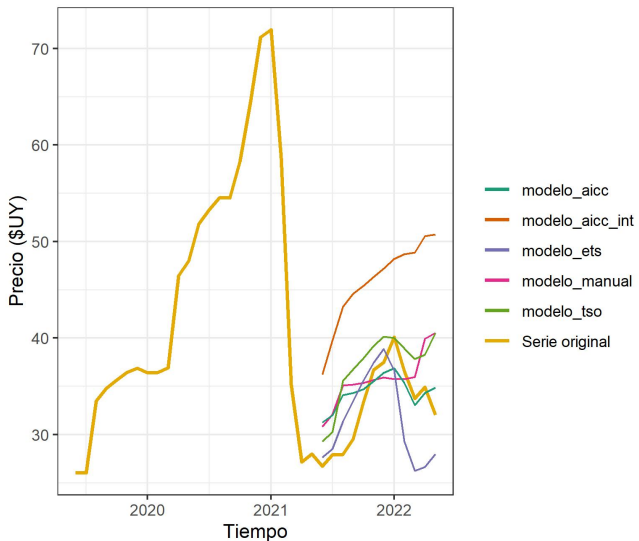


Figura 9: “Predicciones a 12 pasos del precio de manzana, muestra de prueba.”

Predicciones: modelo manual y modelo AICc

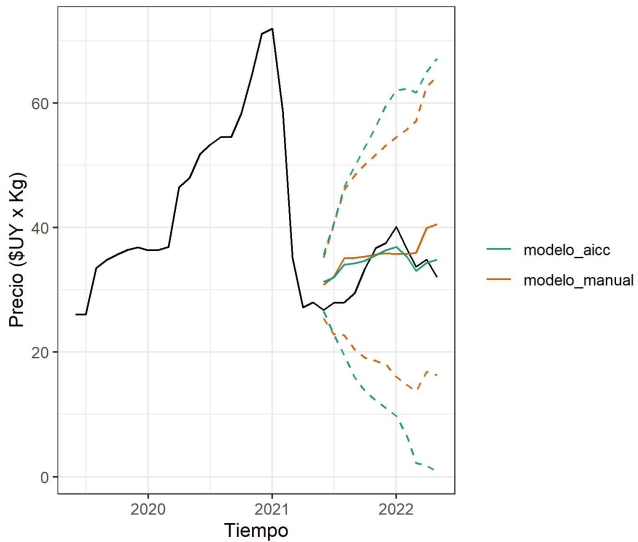


Figura 10: “Predicciones puntuales del precio de manzana e intervalos de predicción al 80\%.”

Predicción fuera de la muestra

fecha	reales	IC80 inf.	pred.	IC80 sup.	error	error abs.
2021-06	26.74	26.30	31.27	35.52	-4.52	4.52
2021-07	27.92	22.69	32.00	40.60	-4.09	4.09
2021-08	27.96	20.05	34.10	46.57	-6.13	6.13
2021-09	29.50	16.34	34.29	49.77	-4.79	4.79
2021-10	33.40	14.47	34.70	52.63	-1.30	1.30
2021-11	36.70	12.85	35.55	56.03	1.15	1.15
2021-12	37.50	11.44	36.40	59.33	1.10	1.10
2022-01	40.12	10.31	36.90	61.86	3.22	3.22
2022-02	36.59	7.23	35.37	62.45	1.21	1.21
2022-03	33.73	2.78	33.03	61.95	0.70	0.70
2022-04	34.90	2.04	34.31	64.96	0.59	0.59
2022-05	32.03	1.48	34.88	66.92	-2.85	2.85

Tabla 4: Predicciones a 12 pasos y errores, modelo AICc.

Predicción fuera de la muestra

fecha	reales	IC80 inf.	pred.	error	error abs.
2021-06	26.74	25.42	30.81	-4.07	4.07
2021-07	27.92	22.63	32.11	-4.19	4.19
2021-08	27.96	22.55	35.08	-7.12	7.12
2021-09	29.50	20.31	35.18	-5.68	5.68
2021-10	33.40	19.19	35.35	-1.95	1.95
2021-11	36.70	18.03	35.68	1.02	1.02
2021-12	37.50	17.12	35.91	1.59	1.59
2022-01	40.12	15.63	35.74	4.38	4.38
2022-02	36.59	14.04	35.76	0.83	0.83
2022-03	33.73	13.42	35.95	-2.22	2.22
2022-04	34.90	15.94	39.92	-5.01	5.01
2022-05	32.03	15.64	40.54	-8.51	8.51

Tabla 5: Predicciones a 12 pasos y errores, modelo manual.

Conclusiones

- ▶ Siguiendo la metodología de Box y Jenkins se llegó a un modelo autorregresivo con una diferencia, con un componente estacional también autorregresivo.
- ▶ Este cumplió los supuestos que se hicieron en su especificación con la excepción del de normalidad y homoscedasticidad.
- ▶ Como alternativa a este modelo trabajado de manera “manual” se planteó un conjunto de modelos seleccionados mediante metodologías de carácter automatizado, como lo son la selección mediante criterios de información.

Conclusiones

- ▶ La serie cuenta con valores atípicos los cuales se intentaron subsanar incluyendo intervenciones, pero en el caso de los modelos que las incluían se observó mayor error a la hora de la predicción fuera de la muestra.
- ▶ En particular, la intervención de valores atípicos al final de la serie aumentaba el error en el que se incurría, por más que en estos casos se cumplían los supuestos subyacentes a los modelos y el ajuste dentro de la muestra era mejor que para los no intervenidos.
- ▶ Esto lo atribuimos al hecho de que incluir una cantidad alta de intervenciones implica un sobreajuste del modelo, en el caso del *modelo tso* un 6 % de las observaciones fueron intervenidas.
- ▶ La modelización con mejor desempeño predictivo fue la elegida mediante el criterio de Akaike corregido y sin intervenciones, siendo la segunda mejor la especificada manualmente.

Conclusiones

- ▶ El hecho de que la predicción se haga con el trasfondo de la pandemia de Coronavirus aumenta la incertidumbre de una forma que es difícil cuantificar, porque todavía no se tiene la distancia temporal suficiente para concluir si causó un quiebre en la estructura de los precios.
- ▶ De hecho, las predicciones fuera de la muestra las realizamos para el periodo entre junio de 2021 y mayo de 2022, por lo cual los últimos 3 meses se ubican dos años después del inicio de la pandemia, lo cual puede explicar el pobre desempeño del modelo para dichos meses teniendo en cuenta el orden 2 de los componentes estacionales especificados.

Bibliografía

- Hamilton, James. 1994. *Time Series Analysis*. Princeton University Press.
- Hyndman, Rob J. 2021. “Detecting Time Series Outliers.”
<https://robjhyndman.com/hyndtsoutliers/>.
- Hyndman, Rob J., and George Athanasopoulos. 2018. *Forecasting: Principles and Practice*. 2nd ed. Australia: OTexts.
- McLeod, A., and W. Li. 1983. “Diagnostic Checking Arma Time Series Models Using Squared-Residual Autocorrelations.” *Journal of Time Series Analysis* 4 (4): 269–73.
<https://doi.org/10.1111/j.1467-9892.1983.tb00373.x>.